

討 17

転位を含む結晶の電子顕微鏡像解析の基礎

京都工芸織維大学 橋本初次郎

I. 諸言 1960年頃より2~3年の間に格子欠陥を含んだ結晶中を通過する電子の振舞を議論する電子回折動力学理論はケンブリッヂや日本の研究者により急速に発展させられ,^{1)~7)} 現在電子顕微鏡を用いて格子欠陥を研究している人々に広く利用され成果をあげている。然し最近特に話題になっている超高压顕頭(500 kV~3 MeV)でうつした写真にはこの理論をそのまま用いたのでは充分に理解されないことも起っている。⁸⁾ これは主としてこの理論の根柢になっている二波近似が不充分であるためである。そのためこのような超高压顕頭像解釈にも用いられる一部書き改める又要があり一部そのような試みもあるが,⁹⁾ 超高压になった場合特に顕著にあらわれる相対論的效果¹⁰⁾とか多波の励起、プロッホ波のチャンネリング¹¹⁾等のことを考慮しつゝ補正を考えて利用するならば、二波近似理論はかなり満足な結果を与えてくれると思われる。

現在は 100 ケV 電頭が最も多く利用されており、又これで撮影した像の解釈に最もよく二波近似理論が適用できるのでこれを紹介し、軌位のバーガースベクトルを決定する等の方法についての基礎的なことを述べる。

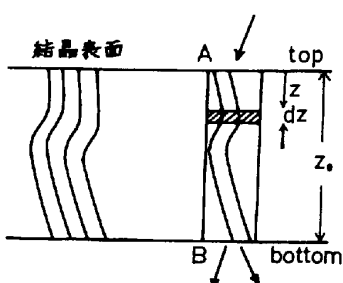
II. 垂を含んだ結晶の回折理論 転位のまわりの原子は完全結晶の場合の位置よりずれている。そのため結晶格子面は傾き且つ格子面間隔もかわっている。ブラック条件は格子面が傾いても又面間隔がかわってもかわるのでこの両方の影響がきて完全結晶の場合とは異なる反射線をだすのでコントラストがつく。転位のまわりの垂に応じてブラック条件から外れることになるが、その外れ量が垂とのような関係にあるかが明らかになれば、その外れ量に対する電子線強度を求めて転位のまわりの強度分布を求めることができる。

電子回折の動力学理論は完全無限結晶について成立つて転位のまわりの領域のように歪んで部分をもつ結晶に適用するには近似を用いねはならない。この近似にはコラム(柱)近似^{1), 2)}, ブロック近似^{3), 4)}等がある。

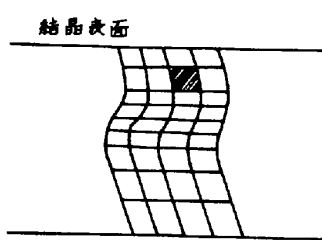
コラム近似は電子エネルギーの流れの方向に小さな柱を考え、これが図1の如く dz の薄片から成り立つ、各薄片は隣の薄片に対して R ベクトルだけ歪みのためにされている。この薄片を通る電子波は

$$\alpha = 2\pi g R \quad (1)$$

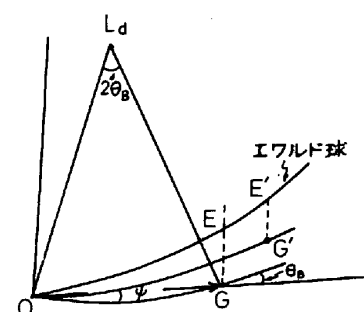
の位相のズレを生じる。この近似では格子面間隔の変化はない。これは格子面のわん曲を考慮していることになる。各薄片を通る波は微分方程式でつかれるがそれらの試料の全体の厚みに渡っての積分が求められる結果となる。実際の積分計算には電子計算機が用いられる。



四 1



四 2



四三

ブロック近似は図2に示したように歪んだ領域を完全な平行四辺形のブロックの集りであるとするが完全結晶の時の格子常数を a_0, b_0, c_0 とし歪を作った変位RのX, Y, Z成分をu, v, wとすると歪んだブロック部内の格子常数は

$$a_j = a_0 \left(1 + \frac{\partial u}{\partial x}\right), \quad b_j = b_0 \left(1 + \frac{\partial v}{\partial y}\right), \quad c_j = c_0 \left(1 + \frac{\partial w}{\partial z}\right) \quad (2)$$

等となるとしてこの中では結晶は完全であると見做す。この時は各ブロック中のブロック波を境界でつなぎ（境界条件）強度を求める。

転位のまわりの歪のうちアラック条件にきくのは格子面の傾きと面間隔の変化であるが、これがどのようにブロック反射強度にきくかは、歪による逆格子点の移動がどの位エワルド球から外れるかで決まる。この外れ量を resonance error t としてそれが格子面の傾きと面間隔の変化でどのような形になるかをしらべてみる。図3において完全な結晶の逆格子点がGにあり $\vec{OG} = g$ 、歪んだ領域に対応する逆格子点がG'にあるとする。GとG'のエワルド球からの外れを \overline{EG} , $\overline{E'G'}$ とするとこれがアラック条件からの外れをあらわす

$$\overline{EG} = 2t, \quad \overline{E'G'} = 2t' \quad (3)$$

とすると

$$2t' = 2t - \psi g + \Delta g \cdot \theta_B \quad (4)$$

となる⁵⁾。ψは歪による格子面の回転角で $\psi = \partial u_g / \partial z$ とかける。 u_g はRのy方向の成分である。

又

$$\Delta g \cdot \theta_B = \theta_B \left(\frac{1}{d_j} - \frac{1}{d_0} \right) = \frac{\theta_B}{d_0} \left(\frac{d_0}{d_j} - 1 \right) = \frac{\theta_B - \frac{\partial u_g}{\partial z}}{d_0 \cdot 1 + \frac{\partial u_g}{\partial z}} = -\theta_B \cdot g \frac{\partial u_g}{\partial z} \quad (5)$$

とおけるから (4) より

$$2t' = 2t_B + 2t_C + 2t_D = 2t - g \frac{\partial u_g}{\partial z} - \theta_B \cdot g \frac{\partial u_g}{\partial z} \quad (6)$$

$2t_B$ は歪のない結晶全体の部分による back ground, $2t_C$ は格子の curvature, $2t_D$ は distortion によるアラック条件からの外れになる。 $2t_C$ は(1)式に対応し, $2t_D$ は(2)式に対応する。この式で結晶内の歪をアラック条件からの外れ量としてかきかえることができる。もし電子線の通路に沿って作ったコラムの中でたが一定であればこの中は完全結晶とみてよいので、吸収を考慮した完全結晶の透過電頭像の強度の式

$$I_0 = (1/4d^2) e^{-\xi_0 z} (d_2^2 e^{\Delta \varepsilon z} + d_1 e^{-\Delta \varepsilon z} + 2g^2 \cos 4\pi d z) \quad (7)$$

ただし $d = \sqrt{t^2 + g^2}$, $2g = u_g \lambda = 1/\xi_g$, $d_1 = d + t$, $d_2 = t - d$

U_g : 結晶内部電位, λ : 電子波長, ξ_0 , $\Delta \varepsilon$: 平均および異常吸収係数

に入れて強度を求めればよいが、コラムの中でも dz の薄片の位置に応じてたが異なるときは

$$\left. \begin{aligned} \frac{dT'}{dz} &= -\frac{\pi}{\xi_0} T' + \pi \left(\frac{d}{\xi_g} - \frac{1}{\xi_g'} \right) S' \\ \frac{dS'}{dz} &= \pi \left(\frac{d}{\xi_g} - \frac{1}{\xi_g'} \right) T' - \left(\frac{\pi}{\xi_0} + 4\pi i t \right) S' \end{aligned} \right\} \quad (8)$$

ただし T' , S' : 透過波回折波の振巾, $\xi_0' = 1/\lambda U_0'$, $\xi_g' = 1/\lambda U_g'$, U_0', U_g' : U_0, U_g の虚数部に入れねばならぬので電子計算機を用いて強度を求める（電算機にかける標準プログラムがある）ことになる。

III. 表面上に平行なスクリュー転位 図4に示すように結晶表面に平行なスクリュー転位ABが表面よりzの深さの所にある。この軸よりzだけ離れた所にコラムを考え表面よりzの深さの所に薄片 dz をとる。そこで原子の変位 R_b は

$$R_b = b/2\pi \cdot \tan^{-1} \{ (z-y)/x \} \quad (9)$$

で与えられる。この変位に対応するアラック条件の外れをあらわす resonance error は(6)式よ

$$2t' = 2t_B - \frac{n}{2\pi} \frac{\partial}{\partial z} \left\{ \tan^{-1} \left(\frac{z-y}{x} \right) \right\} - \theta_B \frac{n}{2\pi} \frac{\partial}{\partial y} \left\{ \tan^{-1} \left(\frac{z-y}{x} \right) \right\} \quad (10)$$

となる。但し $n = g \cdot b$ で整数である。

今 g と b が直交していると b はブレック反射面内にあり格子歪が反射にきいてこないが (10) 式からも $g \cdot b - n = 0$ となりコントラストがつかないことがわかる。

g と b が直交していないときは (10) 式のオ2オ3項がきいてくるのでコントラストがつく。オ3項には θ_B がかかるがこれが $10^{-2} \sim 10^{-1}$ 程度であるから無視してもよい。 $2t_B = 0$ の時の符号をかえるのと b の符号をかえるのとは同じになるから n の十の差は考えなくてよい。

このときの像のコントラストがどのようになるかを見るため転位からかなり離れた所として x の大きな値を考えると (9) 式は

$$R_b = (b/2\pi) (z-y/x) \quad (11)$$

となるから

$$2t' = 2t_B - \frac{n}{2\pi x} \quad (12)$$

これは z に無関係になるから x の距離にあるコラムの中では resonance error は一定である。すなわちこの中は完全結晶とみてよいので (7) 式に入れて強度を求めることができる。膜厚が例えば電子消滅距離 (extinction distance) $E_g = 1/28$ の 10 倍のときを例にとってみると図 5 の如くになる。実際の結晶で厚さが $10 E_g$ もあるとコラムに沿ってもとの変化があるので、(10) 式と (8) 式を用いて計算をするのがより正確なプロファイルが得られる。この方式で行った計算による強度は次の章の例で示す。しかし図 5 よりわかる如く Bragg 条件に結晶があるとその中の転位は黒線又は白黒の対のコントラストとなってあらわれることが知られる。

IV. 表面に対し傾いているスクリュー転位

このときの変位は転位線が表面に対し ψ だけ傾いていると

$$R = (b/2\pi) \tan^{-1} \left\{ (z-y) \cos \psi / x \right\} \quad (13)$$

となる。(9) 式と比較すると $x/\cos \psi$ の距離の原子の変位が面に平行な転位から x の距離の変位に等しくなっていることがわかるので、像が $\cos \psi$ だけせまくなることが知られる。

転位が大きく傾いてその存在する範囲が深さの方向に ψ より広い範囲に渡っているときは電子波の鳴りの影響をうけてジグザグの形をとったり点列の構造をもつ。図 6 に計算による強度分布図、図 7 には電顕写真を示す。A で示した転位はジグザグ構造をもち B で示したものは点列になっている。

V. 表面に平行なエッヂ転位 図 8 に示したような配置にあるエッヂ転位のまわりの歪は

$$R_1 = (b/2\pi) \left[\pm + \frac{\sin 2\phi}{4(1-\nu)} \right] \quad (14-a)$$

$$R_2 = (-b/2\pi) \left[\frac{1-2\nu}{2(1-\nu)} \ln |r| + \frac{\cos 2\phi}{4(1-\nu)} \right] \quad (14-b)$$

で $\nu = 1/3$ とすると、 R_1 がコントラストに利いて

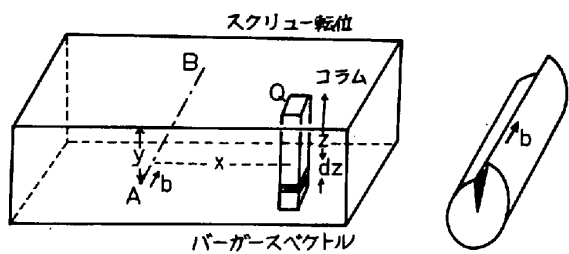


図 4

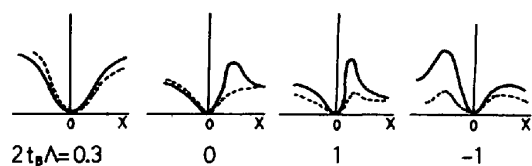


図 5

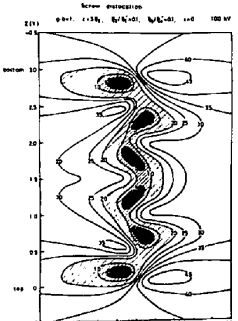


図 6

$$2t_c = \frac{-n}{2\pi} \frac{\partial}{\partial z} [\phi + \frac{3}{8} \sin 2\phi] \approx \frac{n}{2\pi} \frac{\partial}{\partial z} \tan^{-1} \frac{2(z-y)}{x} \quad (15)$$

$2t_d = -\theta_B \cdot g \cdot \frac{\partial u_g}{\partial r}$ は小さいので省略できる。

(15)式を(10)式と比較するとわかる如くエッヂ転位の像はスクリュー転位の像の場合の約2倍の巾になる。

図9に示した如くバーガースベクトル b が結晶面に垂直であるときは(14-b)の R_2 による歪すなわち格子面のわん曲が像にコントラストを与える。

図10はZnの中に含まれている転位ループの像で、バーガースベクトルは結晶面に垂直である。



図7

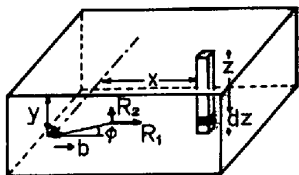


図8

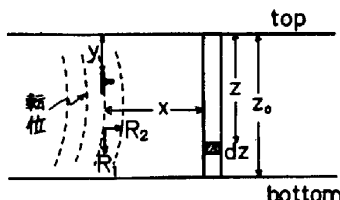


図9



図10



VI. 表面に垂直なエッヂ転位とスクリュー転位

この時は $2t_c = \frac{\partial u_g}{\partial z} = 0$ であるから

$$2t_d = -\theta_B \cdot g \cdot \frac{\partial u_g}{\partial r} \quad (16)$$

がコントラストを与えることになる。 u_g として(14)式を用ひるが θ_B がかゝっているため t_d は小さい。従ってコントラストも小さい。図11は100の反射が起きたときの像のコントラストを示したものである。

表面に垂直なスクリュー転位の時は $gb = 0$ となり像がでない筈であるが、転位のまわりの歪が表面近くで緩和されるため格子面が転位のまわりでねじれて傾く。(Eshelby twist) このため $2t_c$, $2t_d$ が利いてコントラストがつく⁵⁾。図12は白金膜中のスクリュー転位の像である。

VII. 超高圧電頭による転位の像 電子加速電圧が上がると電頭の分解能が上がり電子の透過度が向上し、動力学的效果が減少し、相対論的效果が顕著となり、回折波が沢山励起されるようになり、像のコントラストが向上されるようになる。

図13は転位の像のプロフィルが相対論効果と吸収がきいてくると100kVと1000kVでどのようにかわるかを示したもので、Alの2μm厚さの中の転位の像が1000kVでは100kVに比べて巾がせまくなりコントラストが非常によくなっていることがわかる。

回折波が沢山励起されてくると転位の像にコントラストをつける電子波の数が増すので $gb = 0$ を満足するまでの反射を一つだけ励起させる方位に試料をおくことがむつかしくなる。

その反射による回折点の暗視野像を作り $gb = 0$ の条件をさがす方法をとればかなり事情は改善されるが、多重反射や非弾性散乱波が再び弾性散乱して回折点を作っているので $gb = 0$ の条件でバーガースベクトルの決定を行うとき少し注意を要すると思われる。



図12

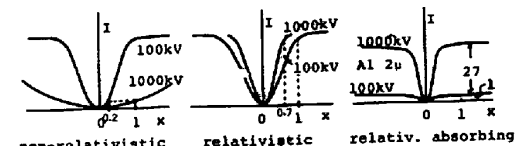


図13

文 献

- 1) P.B. Hirsch, A. Howie and M. J. Whelan : Phil. Trans. Roy. Soc. A252 499 (1960)

- 2) A. Howie and M. J. Whelan : Proc. Roy. Soc. A 263 217 (1961), A 267 206 (1962)
- 3) H. Hashimoto and M. Mannami : Acta Cryst. 13 363 (1960)
- 4) M. Mannami : J. Phys. Soc. Japan 17 1160, 1423 (1962)
- 5) W. J. Tunstall, P. B. Hirsch and J. Steeds : Phil. Mag. 9 99 (1964)
- 6) S. Takagi : Acta Cryst. 15 1311 (1962)
- 7) N. Kato : Acta Cryst. 16 276, 282 (1963)
- 8) D. Watanabe and R. Uyeda : Acta Cryst. A 24 249, 580 (1968), A 25 138 (1968)
F. Nagata and A. Fukuhara : Japanese J. appl. Phys.
- 9) Z. E. Basinski and A. Howie : Phil. Mag.
- 10) H. Hashimoto : Preprint of U.S. Steel High Voltage Meeting 5 (1969)
- 11) C. J. Humphreys and J. S. Lally : J. appl. Phys. 41 232 (1970)